



БИООРГАНИЧЕСКАЯ ХИМИЯ

том 3 № 12 1977

УДК 547.96 + 547.737

КРИСТАЛЛИЧЕСКАЯ И МОЛЕКУЛЯРНАЯ СТРУКТУРА ЦИКЛИЧЕСКОГО ТЕТРАДЕПСИПЕПТИДА *cyclo[-(L-MeIle-D-HyIv)₂-]*

Плетнев В. З., Галицкий Н. М.

Институт биоорганической химии им. М. М. Шемякина
Академии наук СССР, Москва

Прямыми рентгеноструктурными методами определена кристаллическая структура циклического тетрадепептида *cyclo[-(L-MeIle-D-HyIv)₂-]* ($C_{24}H_{42}N_2O_6$). Кристаллы орторомбические, пространственная группа $P2_12_12_1$, число молекул на ячейку $Z = 4$, параметры ячейки: $a = 9,536$, $b = 11,960$, $c = 23,121$ Å. Координаты атомов C, N, O уточнялись в анизотропном приближении, H — в изотропном до $R = 0,044$. Конформация основной цепи молекулы имеет ваннообразную форму с псевдоосью симметрии второго порядка. Метиламидные группы реализуются в *цис*-, сложноэфирные — в *транс*-конфигурации. Карбонильные группы и боковые цепи молекулы ориентированы по разные стороны от средней плоскости цикла.

К настоящему времени рентгеноструктурными методами установлены пространственные формы ряда циклических тетрадепептидов [1—5] и тетрапептидов [6, 7] с различным чередованием конфигураций аминокислотных остатков. Соединения с циклом такого размера представляют собой промежуточную ступень между циклоди- (все амидные и сложноэфирные группы в *цис*-конфигурации) и циклогексадепептидами (все группы могут быть в *транс*-конфигурации). Изучение таких объектов позволяет не только выявить пути реализации замкнутой молекулярной системы, но и оценить конформационные возможности тетрадепептидной (или тетрапептидной) цепи.

Ранее рентгеновским методом была установлена пространственная структура соединения *cyclo(L-MeIle-D-HyIv-L-MeLeu-D-HyIv)* [1]. В данной работе представлены результаты рентгеноструктурного исследования родственного циклического тетрадепептида — *cyclo[-(L-MeIle-D-HyIv)₂-]*. Изучение этого аналога, отличающегося регулярной последовательностью аминокислотных остатков, представляет не только самостоятельный интерес, но имеет и более общее значение в плане выявления взаимосвязи между симметриями первичной и вторичной (пространственной) структур в циклических системах.

Модель молекулы и принятые обозначения показаны на рис. 1. Координаты атомов C, N, O и H с температурными коэффициентами анизотропных и изотропных тепловых колебаний приведены в табл. 1 и 2. На рис. 2 показана упаковка молекул в кристаллической ячейке в проекции на плоскость a — c . Межмолекулярные расстояния в основном превышают

HyIv — остаток α -оксиизовалериановой кислоты.

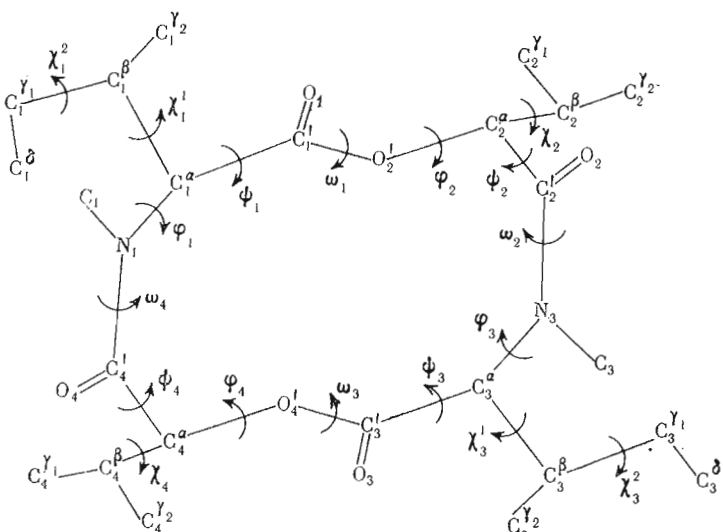


Рис. 1. Модель молекулы *cyclo*[-(*L*-Мелл-*D*-Гидролив)₂-]

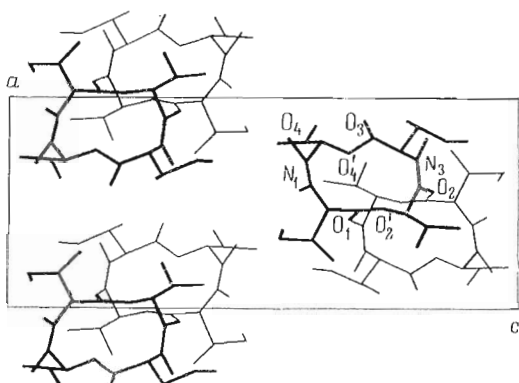


Рис. 2. Упаковка молекул *cyclo*[-(*L*-Мелл-*D*-Гидролив)₂-] в кристаллической ячейке в проекции на плоскость $a - c$

суммы ван-дер-ваальсовых радиусов атомов. Водородные связи в кристалле не образуются, так как в молекуле отсутствуют атомы H, способные участвовать в водородном связывании. Факторы B_{ii} , описывающие тепловые движения отдельных концевых атомов боковых цепей остатков *L*-Мелл и *D*-Гидролив ($C_i^{\gamma_1}$, $C_i^{\gamma_2}$, C_i^{δ}), имеют повышенные значения, указывающие на достаточно высокие амплитуды крутильных колебаний вокруг связей $C_i^{\alpha} — C_i^{\beta}$ и $C_i^{\beta} — C_i^{\gamma_1}$.

Величины валентных связей и углов представлены на рис. 3 и в табл. 3, 4. Найденные геометрические параметры в основном характерны для большинстваdepsипептидных соединений. Оценка длин валентных связей $C_i^{\gamma_1} — C_i^{\delta}$ (1,458 и 1,485 Å) явно занижена из-за эффекта тепловых колебаний боковых цепей остатков Мелл. Карбонильные связи $C=O$ метиламидных групп на 0,03—0,04 Å длиннее аналогичных связей сложноэфирных групп. Эта особенность справедлива для подавляющего большинства depsипептидных молекул [1, 3—5, 8—15] и, несомненно, связана с определенными (хотя и небольшими) различиями в электронном строении этих групп.

В табл. 5 представлены величины углов вращения молекулы — φ , ψ , ω , χ , а также двугранных углов — ϑ_N и ϑ_C' , характеризующих степень

Таблица 1

Координаты (в долях ячейки) и индивидуальные параметры анизотропных тепловых колебаний* (A^2) атомов O, N, C соединения $cyclo[-(L\text{-Меле-}D\text{-Нуiv})_2^2]$

В скобках даны стандартные отклонения

Атом	α/α	y/b	z/c	B_{11}	B_{22}	B_{33}	B_{12}	B_{13}	B_{23}
O ₁	0,97094 (41)	0,25026 (24)	0,30873 (13)	9,44 (23)	3,37 (12)	5,97 (15)	0,33 (15)	-0,13 (17)	-0,44 (13)
O ₂ ²	0,97268 (32)	0,07611 (24)	0,27493 (12)	4,1 (14)	3,80 (12)	5,33 (15)	0,37 (12)	-0,43 (13)	-0,18 (12)
O ₂	1,05847 (44)	0,26331 (27)	0,16506 (16)	9,59 (24)	2,0 (17)	7,22 (19)	0,99 (18)	-0,06 (20)	2,08 (16)
O ₃	1,39359 (49)	0,43461 (36)	0,30027 (17)	11,50 (30)	8,87 (24)	6,72 (21)	-6,56 (24)	-2,12 (22)	1,44 (19)
O ₄ ²	1,24435 (31)	0,68848 (26)	0,33176 (12)	4,12 (13)	5,16 (14)	4,69 (13)	-0,35 (12)	-0,69 (12)	0,51 (12)
O ₄	1,299989 (43)	0,17801 (37)	0,45285 (17)	7,36 (20)	9,14 (24)	7,47 (21)	-0,71 (21)	-1,89 (19)	-2,40 (20)
N ₁	1,08821 (41)	0,15779 (31)	0,42120 (16)	5,53 (20)	4,46 (17)	5,14 (20)	-0,15 (17)	-0,30 (17)	-0,30 (16)
N ₃	1,21213 (40)	0,14209 (29)	0,20036 (16)	5,34 (19)	3,69 (16)	5,65 (19)	0,00 (15)	0,08 (18)	0,90 (16)
C ₁	1,04505 (68)	0,26297 (42)	0,43915 (22)	8,51 (35)	4,64 (24)	6,63 (28)	0,11 (27)	-0,68 (28)	-0,88 (23)
C ₂ ²	0,98479 (47)	0,09676 (35)	0,37657 (20)	4,34 (22)	3,63 (18)	5,38 (23)	-0,14 (18)	0,12 (20)	0,53 (18)
C ₁	0,976609 (47)	0,15206 (35)	0,31726 (20)	4,35 (20)	3,55 (18)	6,00 (24)	0,20 (18)	0,40 (20)	-0,22 (18)
C ₂ ¹	0,83950 (53)	0,02227 (46)	0,40474 (24)	4,82 (25)	6,54 (27)	7,50 (31)	-0,32 (23)	0,98 (23)	1,46 (25)
C ₂ ²	0,731416 (59)	0,04419 (58)	0,36433 (28)	10,34 (43)	9,74 (38)	1,51 (31)	-0,11 (28)	1,94 (36)	1,94 (36)
C ₃ ¹	0,84316 (80)	0,03638 (62)	0,46534 (32)	10,34 (41)	9,80 (42)	11,23 (51)	-3,43 (39)	0,53 (35)	3,20 (36)
C ₃ ²	0,85336 (168)	-0,08521 (73)	0,46377 (40)	14,70 (59)	10,98 (44)	6,64 (53)	0,40 (46)	2,92 (41)	-2,09 (31)
C ₂ ²	0,95252 (50)	0,11763 (36)	0,21622 (19)	4,82 (22)	3,82 (19)	5,51 (23)	4,60 (18)	-1,07 (20)	-0,37 (17)
C ₂	1,08130 (54)	0,18110 (37)	0,19312 (20)	6,52 (25)	3,90 (20)	5,07 (22)	1,07 (20)	-0,47 (21)	0,25 (19)
C ₃ ²	0,90772 (51)	0,0973 (41)	0,17837 (22)	4,99 (23)	5,43 (24)	7,24 (28)	1,04 (21)	-2,05 (22)	-1,17 (23)
C ₂ ²	0,77899 (78)	-0,03623 (69)	0,20156 (38)	7,50 (38)	11,24 (51)	9,93 (55)	-2,03 (38)	-1,15 (42)	-6,34 (47)
C ₃ ¹	0,88982 (98)	0,05823 (56)	0,14680 (30)	13,49 (64)	7,20 (36)	8,76 (39)	2,24 (41)	-5,05 (43)	-2,09 (31)
C ₃	1,32588 (62)	0,21046 (41)	0,17660 (24)	7,93 (32)	5,06 (23)	7,84 (33)	-1,72 (24)	1,44 (27)	1,83 (25)
C ₃ ²	1,25115 (43)	0,03827 (33)	0,23035 (17)	3,87 (19)	3,62 (18)	4,86 (20)	-0,08 (18)	-0,16 (18)	0,60 (17)
C ₃ ³	1,30492 (48)	0,06779 (34)	0,29038 (19)	4,72 (21)	3,59 (18)	5,34 (23)	-0,57 (17)	-0,04 (19)	0,45 (17)
C ₃ ²	1,35822 (45)	-0,03286 (37)	0,19753 (20)	3,77 (18)	4,69 (20)	5,46 (22)	0,04 (18)	0,18 (19)	0,19 (19)
C ₂ ³	1,39706 (57)	-0,13406 (45)	0,23292 (24)	6,42 (29)	6,69 (27)	6,20 (27)	2,51 (25)	0,16 (23)	0,71 (23)
C ₁ ³	1,30251 (54)	-0,06663 (41)	0,13788 (22)	5,50 (24)	6,11 (25)	6,07 (26)	0,43 (23)	-0,21 (22)	0,00 (22)
C ₂ ³	1,40739 (72)	-0,112066 (55)	0,09949 (24)	9,83 (40)	8,82 (36)	6,26 (30)	1,96 (34)	0,75 (28)	-1,67 (28)
C ₂ ⁴	1,28720 (49)	0,02139 (42)	0,39130 (19)	4,52 (21)	6,35 (25)	5,07 (21)	-0,19 (21)	-0,64 (19)	0,07 (20)
C ₁ ⁴	1,222238 (54)	0,12630 (42)	0,42015 (19)	5,86 (25)	5,61 (23)	5,04 (22)	-1,00 (21)	-0,70 (22)	-0,31 (20)
C ₂ ⁵	1,26224 (56)	-0,08679 (48)	0,42244 (22)	6,42 (28)	7,45 (29)	6,18 (27)	1,36 (26)	-0,18 (25)	2,16 (24)
C ₂ ⁴	1,35625 (74)	-0,17775 (50)	0,39750 (26)	10,08 (40)	6,31 (30)	8,07 (34)	1,45 (32)	-0,43 (33)	0,51 (28)
C ₃ ⁴	1,29477 (114)	-0,07215 (64)	0,48667 (24)	19,62 (81)	9,41 (44)	5,77 (54)	-1,02 (39)	0,89 (29)	

* Анизотропные тепловые колебания описываются функцией $T_A = \exp [-\frac{1}{4} (\text{B}_{11} h^2 \alpha * + \text{B}_{22} h^2 b * + \text{B}_{33} h^2 c * + 2\text{B}_{12} h \alpha * b * + 2\text{B}_{13} h \alpha * c * + 2\text{B}_{23} h b * c *)]$.

Таблица 2

Координаты (в долях ячейки) и индивидуальные параметры изотропных тепловых колебаний* (Å^2) атомов водорода соединения *cyclo [-L-MeIe-D-HyIV]₂*. В скобках даны стандартные отклонения

Атом	x/a	y/b	z/c	B	Атомы, связанные с H_i
H_1	0,98523(435)	0,31119(381)	0,41009(161)	5,81(103)	C_1
H_2	1,12057(386)	0,31001(328)	0,44644(159)	9,79(89)	C_1
H_3	1,00292(734)	0,24749(632)	0,47265(259)	14,16(221)	C_1
H_4	1,02090(337)	0,02596(266)	0,37269(126)	5,16(71)	C^{α}_1
H_5	0,81574(512)	0,17772(408)	0,41265(186)	7,75(125)	C^{β}_1
H_6	0,92805(791)	0,07974(607)	0,48967(257)	14,77(215)	C^{γ}_1
H_7	0,73976(645)	0,01480(504)	0,48385(214)	8,75(155)	C^{γ}_1
H_8	0,74178(367)	-0,10891(321)	0,46513(152)	12,14(86)	C^{δ}_1
H_9	0,91096(360)	-0,10940(288)	0,42260(147)	12,03(86)	C^{δ}_1
H_{10}	0,89189(369)	-0,11213(291)	0,50169(135)	11,29(84)	C^{δ}_1
H_{11}	0,77366(792)	-0,02848(572)	0,34963(278)	14,08(211)	$C^{\gamma_2}_1$
H_{12}	0,72631(433)	0,10143(343)	0,33374(161)	7,69(102)	$C^{\gamma_2}_1$
H_{13}	0,65672(533)	0,03729(382)	0,38507(196)	9,52(131)	$C^{\gamma_2}_1$
H_{14}	0,87881(314)	0,17704(254)	0,21885(120)	3,13(69)	C^{α}_2
H_{15}	0,97210(355)	-0,03083(283)	0,18371(133)	4,98(81)	C^{β}_2
H_{16}	0,84724(350)	0,00231(286)	0,09535(132)	8,48(77)	$C^{\gamma_1}_2$
H_{17}	0,97673(339)	0,07945(277)	0,10415(127)	8,97(77)	$C^{\gamma_1}_2$
H_{18}	0,82063(348)	0,12957(270)	0,11479(131)	9,19(77)	$C^{\gamma_1}_2$
H_{19}	0,78344(537)	-0,05637(441)	0,23959(201)	10,26(138)	$C^{\gamma_2}_2$
H_{20}	0,72339(761)	0,02131(593)	0,20904(248)	13,56(200)	$C^{\gamma_2}_2$
H_{21}	0,77009(496)	-0,09447(407)	0,17829(185)	9,22(126)	$C^{\gamma_2}_2$
H_{22}	1,41416(571)	0,19291(479)	0,19055(212)	11,49(149)	C_3
H_{23}	1,33230(502)	0,22344(373)	0,14309(195)	9,45(124)	C_3
H_{24}	1,33726(483)	0,28021(393)	0,19452(187)	12,66(124)	C_3
H_{25}	1,16684(304)	-0,01201(237)	0,23482(116)	4,01(64)	C^{α}_3
H_{26}	1,44688(393)	0,02085(303)	0,19917(142)	6,25(85)	C^{β}_3
H_{27}	1,26674(442)	0,00217(374)	0,11737(156)	9,51(101)	$C^{\gamma_1}_3$
H_{28}	1,21812(454)	-0,11700(356)	0,14025(170)	8,63(108)	$C^{\gamma_1}_3$
H_{29}	1,47087(456)	-0,04984(351)	0,08972(165)	9,13(140)	C^{δ}_3
H_{30}	1,37165(424)	-0,14448(340)	0,06367(171)	9,24(112)	C^{δ}_3
H_{31}	1,46631(496)	-0,17812(395)	0,11744(168)	11,36(124)	C^{δ}_3
H_{32}	1,43666(378)	-0,11262(293)	0,26996(144)	6,76(86)	$C^{\gamma_2}_3$
H_{33}	1,46046(451)	-0,17833(375)	0,21235(152)	8,55(109)	$C^{\gamma_2}_3$
H_{34}	1,30376(484)	-0,17890(368)	0,23983(168)	10,17(111)	$C^{\gamma_2}_3$
H_{35}	1,38917(322)	0,03907(254)	0,39171(129)	4,92(73)	C^{α}_4
H_{36}	1,15891(389)	-0,11836(309)	0,41384(148)	6,94(93)	C^{β}_4
H_{37}	1,32798(573)	-0,01428(445)	0,49611(195)	12,19(144)	$C^{\gamma_1}_4$
H_{38}	1,26722(525)	-0,14900(418)	0,50178(172)	10,24(126)	$C^{\gamma_1}_4$
H_{39}	1,21775(550)	-0,03455(421)	0,50210(183)	11,40(124)	$C^{\gamma_1}_4$
H_{40}	1,32318(606)	-0,26370(513)	0,41538(213)	14,25(173)	$C^{\gamma_2}_4$
H_{41}	1,32947(399)	-0,19251(305)	0,35349(161)	7,09(94)	$C^{\gamma_2}_4$
H_{42}	1,44921(451)	-0,15271(348)	0,40611(156)	9,53(112)	$C^{\gamma_2}_4$

* Изотропные тепловые колебания описываются функцией $T_i = \exp(-B \cdot \sin^2 \Theta / \lambda^2)$.

отклонения связей при атомах N и C в sp^2 -гибридизации от плоского расположения [17, 18].

Как видно из табл. 5, обе метиламидные группы принимают *цикло*-конфигурацию, а сложноэфирные группы — *транс*-конфигурацию. Отколо-

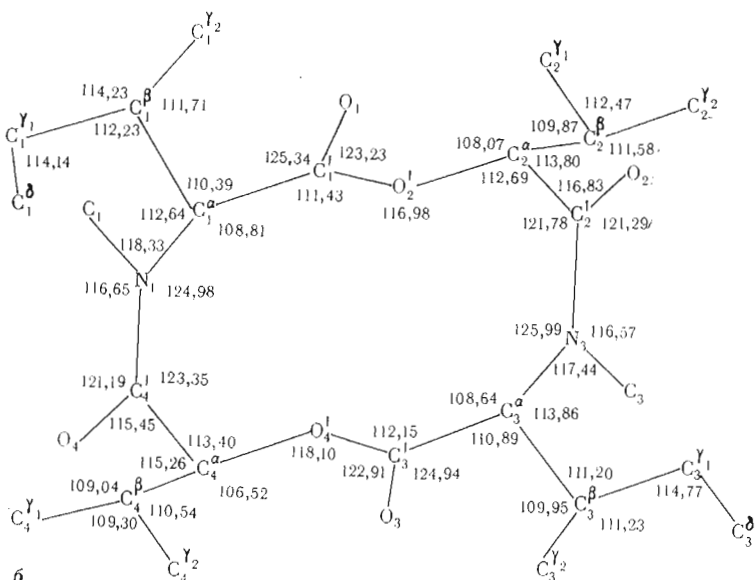
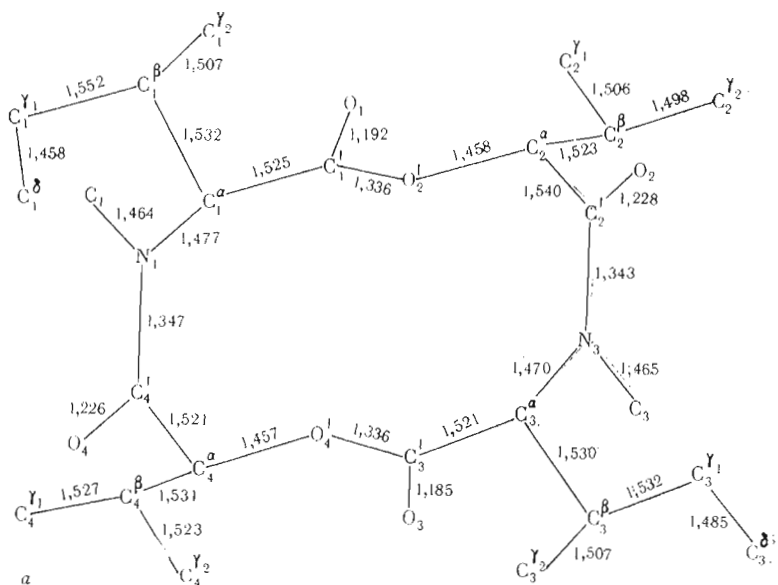


Рис. 3. Величины (а) валентных связей (Å) и (б) углов (град) *cyclo*[-(*L*-Melle-*D*-Hylv)₂-]

нения этих групп от плоского строения (как следует из значений углов ω , ϑ_N , ϑ_C) невелики и лежат в пределах, характерных для большинства простых линейных десипентидов. Экспериментальные точки φ , ψ остатков *L*-Melle находятся в области невысоких энергий (*B*) на потенциальной поверхности модельного соединения Ac-*L*-Melle-O*Me* с цис-метиламидной группой. Соответствующие конформационные карты φ — ψ были рассчитаны нами при ориентациях боковых цепей *L*-Melle, близких к экспериментально найденным — χ^1 — 60, χ^2 — 60, 180° (рис. 4а). Зеркально инвертированные точки φ — ψ остатков D-Hylv также ложатся вблизи одного из минимумов (*R*) на аналогичной карте модели Ac-*L*-Hylv-N*Me*₂, построенной при χ 180° [19] (рис. 4б). Ориентации боковых цепей остатков-

Таблица 3

Длины валентных связей (\AA) в структуре *cyclo[-L-Melle-D-HyIv]²⁻*
В скобках даны стандартные отклонения

Связь	Длина	Связь	Длина
N ₁ -C' ₄	1,347(6)	N ₃ -C' ₂	1,343(6)
N ₁ -C ^α ₁	1,477(6)	N ₃ -C ^α ₃	1,470(5)
N ₁ -C ₁	1,464(6)	N ₃ -C ₃	1,465(7)
C ^α ₁ -C' ₁	1,525(6)	C ^α ₃ -C' ₃	1,521(6)
C ^α ₁ -C ^β ₁	1,532(7)	C ^α ₃ -C ^β ₃	1,530(6)
C' ₁ -O ₁	1,192(5)	C' ₃ -O ₃	1,185(6)
C ^β ₁ -C ^γ ₁	1,552(5)	C ^β ₃ -C ^γ ₃	1,532(7)
C ^β ₁ -C ^γ ₂	1,507(8)	C ^β ₃ -C ^γ ₂	1,507(7)
C ^γ ₁ -C ^δ ₁	1,458(11)	C ^γ ₃ -C ^δ ₃	1,485(8)
C' ₁ -O' ₂	1,336(5)	C' ₃ -O' ₄	1,336(5)
O' ₂ -C ^α ₂	1,458(5)	O' ₄ -C ^α ₄	1,457(5)
C ^α ₂ -C' ₂	1,540(7)	C ^α ₄ -C' ₄	1,521(7)
C ^α ₂ -C ^β ₂	1,523(7)	C ^α ₄ -C ^β ₄	1,531(7)
C' ₂ -O ₂	1,228(6)	C' ₄ -O ₄	1,226(6)
C ^β ₂ -C ^γ ₂	1,506(9)	C ^β ₄ -C ^γ ₄	1,527(8)
C ^γ ₂ -C ^γ ₂	1,498(9)	C ^γ ₄ -C ^γ ₄	1,523(8)

Таблица 4

Валентные углы (град) в структуре *cyclo [-L-Melle-D-HyIv]²⁻*
В скобках даны стандартные отклонения

Угол	Величина	Угол	Величина
C' ₄ -N ₁ -C ₁	116,65(40)	C' ₂ -N ₃ -C ₃	116,57(39)
C' ₄ -N ₁ -C ^α ₁	124,98(38)	C' ₂ -N ₃ -C ^α ₃	125,99(37)
C ₁ -N ₁ -C ^α ₁	118,33(38)	C ₃ -N ₃ -C ^α ₃	117,44(36)
N ₁ -C ^α ₁ -C' ₁	108,81(35)	N ₃ -C ^α ₃ -C' ₃	108,64(33)
N ₁ -C ^α ₁ -C ^β ₁	112,64(37)	N ₃ -C ^α ₃ -C ^β ₃	113,86(34)
C ^β ₁ -C ^α ₁ -C' ₁	110,39(38)	C ₃ ^β -C ₃ ^α -C ₃ '	110,89(34)
C ^α ₁ -C' ₁ -O' ₂	111,43(36)	C ₃ ^γ -C' ₃ -O' ₄	112,15(35)
C ^α ₁ -C' ₁ -O ₁	125,34(41)	C ^α ₃ -C' ₃ -O ₃	124,94(42)
O ₁ -C' ₁ -O' ₂	123,23(41)	O ₃ -C' ₃ -O' ₄	122,91(43)
C ^α ₁ -C ^β ₁ -C ^γ ₁	112,23(37)	C ^α ₃ -C ^β ₃ -C ^γ ₃	111,20(36)
C ^α ₁ -C ^β ₁ -C ^γ ₂	111,71(44)	C ^α ₃ -C ^β ₃ -C ^γ ₂	109,95(37)
C ^γ ₁ -C ^β ₁ -C ^γ ₂	114,23(41)	C ^γ ₃ -C ^β ₃ -C ^γ ₂	111,23(39)
C ^β ₁ -C ^γ ₁ -C ^δ ₁	114,14(66)	C ^β ₃ -C ^γ ₃ -C ^δ ₃	114,77(44)
C' ₁ -O' ₂ -C ^α ₂	116,98(33)	C' ₃ -O' ₄ -C ^α ₄	118,10(33)
O' ₂ -C ^α ₂ -C' ₂	112,69(36)	O' ₄ -C ^α ₄ -C' ₄	113,40(37)
O' ₂ -C ^α ₂ -C ^β ₂	108,07(36)	O' ₄ -C ^α ₄ -C ^β ₄	106,52(37)
C ^β ₂ -C ^α ₂ -C' ₂	113,80(38)	C ^β ₄ -C ^α ₄ -C' ₄	115,26(41)
C ^α ₂ -C' ₂ -N ₃	121,78(40)	C ^α ₄ -C' ₄ -N ₁	123,35(42)
C ^α ₂ -C' ₂ -O ₂	116,83(42)	C ^α ₄ -C' ₄ -O ₄	115,45(44)
O ₂ -C' ₂ -N ₃	121,29(44)	O ₄ -C' ₄ -N ₁	121,19(46)
C ^α ₂ -C ^β ₂ -C ^γ ₁	109,87(46)	C ^α ₄ -C ^β ₄ -C ^γ ₁	109,04(49)
C ^α ₂ -C ^β ₂ -C ^γ ₂	111,58(47)	C ^α ₄ -C ^β ₄ -C ^γ ₂	110,54(45)
C ^γ ₁ -C ^β ₂ -C ^γ ₂	112,47(53)	C ^γ ₁ -C ^β ₄ -C ^γ ₂	109,30(51)

Таблица 5

Двугранные углы * (град) $cyclo[-(L\text{-MeIle}-D\text{-HyIV})_2]$

Углы	$L\text{-MeIle}$ ($i=1$)	$D\text{-HyIV}$ ($i=2$)	$L\text{-MeIle}$ ($i=3$)	$D\text{-HyIV}$ ($i=4$)
φ_i	-98,34	70,42	-101,94	81,89
ψ_i	136,80	44,41	128,86	38,80
ω_i	175,01	-0,45	177,19	2,44
χ^1_i	-58,23	-178,32	-59,25	-174,46
χ^2_i	-76,97	-	170,95	-
θ_{N_i}	-2,42	-	-0,71	-
$\theta_{C'_i}$	-0,93	-3,86	-0,57	-1,61

* Отсчет углов соответствует номенклатуре IUPAC-IUB [16]. В полностью вытянутой основной цепи $\varphi_i = \psi_i = \omega_i = 180^\circ$. Нулевая точка отсчета углов χ^1_i соответствует затененному положению связей $N_i-C_i^2$ (или $O'-C^{\alpha i}$) и $C^{\alpha i}-C_i^1$ со связями $C^{\beta i}-C^{\gamma i}_i$ и $C^{\beta i}-C^{\gamma 2}_i$ соответственно, $\chi^2_i-C^{\alpha i}-C^{\beta i}$ со связью $C^{\gamma i}_i-C_i^{\delta}$. Угол θ_{N_i} описывает угол между плоскостями $C'NC^{\alpha}$ и $C'NC^{\beta}$, $\theta_{C'_i}$ между $NC'C^{\alpha}(O'C'C^{\alpha})$ и $NC'C^{\beta}$.

$L\text{-MeIle}$ и $D\text{-HyIV}$ соответствуют состояниям с низкими значениями торсионной энергии. Анализ структур исследуемого соединения и других пептидов [1, 8, 9, 20–23] выявил, что не все благоприятные по торсионной энергии конформации боковых изобутильных групп Ile реализуются в равновероятной степени. Диаграмма распределения углов χ^1 и χ^2 боковых цепей остатков Ile (приведенных к L -конфигурации) в известных пептидных структурах (рис. 5) показывает, что у данных пептидов из девяти теоретически возможных состояний боковых цепей $L\text{-Ile}$ в кристаллах реализуются только пять. Причем состояние с χ^1 и χ^2 около -60° найдено пока только для $L\text{-MeIle}$ с предшествующей *цис*-пептидной группой. Не исключено, что с ростом количества решенных структур число заполненных на диаграмме состояний будет увеличиваться. Однако уже сейчас очевидно существование определенного детерминирования ориентаций боковых цепей Ile в кристаллических пептидах с точки зрения других составляющих общей энергии (в основном энергии невалентных взаимодействий атомов). И наконец, как показал анализ, из трех возможных ориентаций боковых цепей остатков HyIV (χ_i около -60° , $+60^\circ$, $\pm 180^\circ$) в исследуемом соединении и других кристаллических десипептидах с известной структурой [1–5, 8–15, 24–26] * реализуются только две (-60° и $\pm 180^\circ$ для L -конфигурации остатка). Причем в данном случае отмечается взаимообусловленность конформационных состояний боковой и основной цепей. Для $D\text{-HyIV}$ ориентация боковой изопропильной группы с $\chi = -60^\circ$ реализуется чаще при конформации основной цепи, отвечающей области B (рис. 4б), а состояние с $\chi = \pm 180^\circ$ — при углах φ , ψ , попадающих в область R [1–5, 8–11, 15, 24–26].

В целом полученные данные указывают на то, что в молекуле, несмотря на относительно небольшую величину цикла, отсутствуют значительные напряжения на локальных участках цепи. В данном случае *цис*-конфигурация пептидных групп эффективным образом способствует образованию замкнутой системы без существенных стерических затруднений. Реализация *цис*-метиламидных групп характерна для подавляющего числа циклических тетрапептидов и тетрадесипептидов [1–4, 6, 7]. Исключение составляет соединение $cyclo(L\text{-MeVal}-L\text{-HyIV}-D\text{-MeVal}-D\text{-HyIV})$,

* Необходимые для анализа величины двугранных углов χ_i десипептидных соединений [2, 3, 8, 9, 24, 25] пересчитаны по координатам атомов в соответствии с номенклатурой IUPAC — IUB [16].

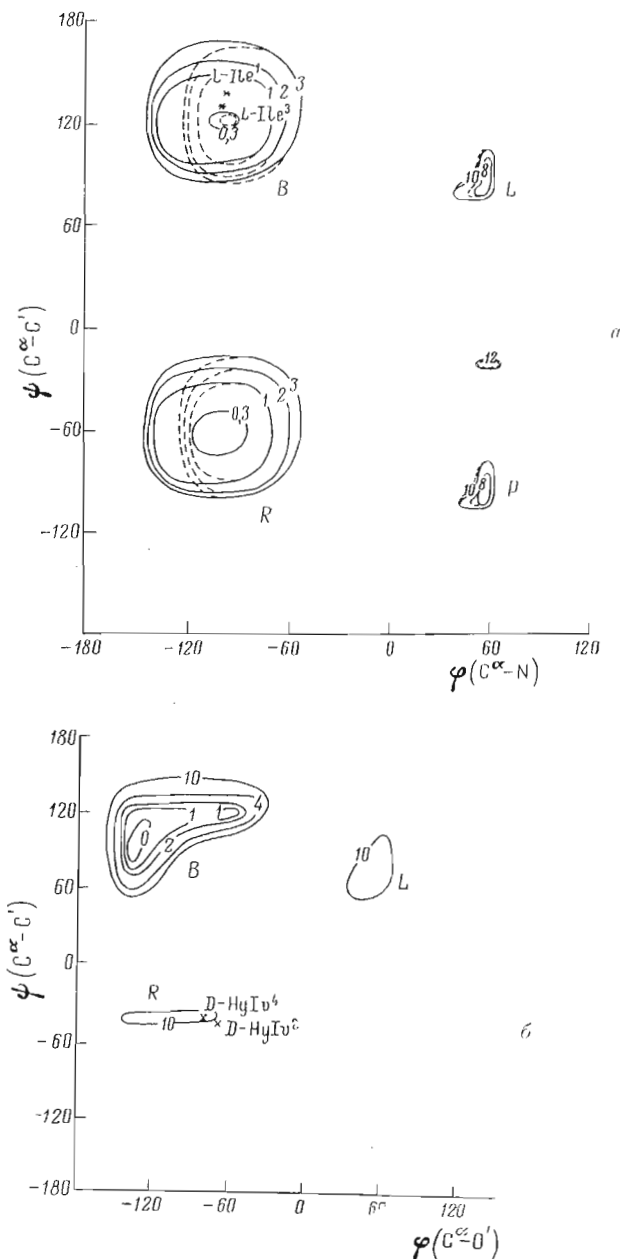


Рис. 4. Конформационные карты: а — Ac-*L*-Мелле-ОМе с цис-метиламидной группой при $\chi^1 = -60^\circ$, $\chi^2 = 180^\circ$ (сплошные замкнутые изоэнергетические линии) и $\chi^1 = \chi^2 = -60^\circ$ (штриховые линии); б — Ac-*L*-HyIv-NMe₂ при $\chi = 180^\circ$. Уровни одинаковой энергии даны в ккал/моль. Крестиками отмечены координаты φ — ψ остатков *L*-Мелле и *D*-HyIv *cyclo*[-(*L*-Мелле-*D*-HyIv)₂-]

в котором все группы принимают транс-конфигурацию [5]. Интересно сравнить структуру исследуемого соединения *cyclo*[-(*L*-Мелле-*D*-HyIv)₂-] (I) с установленной ранее структурой родственной молекулы *cyclo*(*L*-Мелле-*D*-HyIv-*L*-Мелле-*D*-HyIv) (II) [4]. Как и следовало ожидать, обе молекулы обладают одной и той же пространственной формой. Различие сопоставимых углов вращения составляет менее 10° (за исключением углов χ_i^2 у остатков *L*-Мелле, где разница достигает 26°). В пространствен-

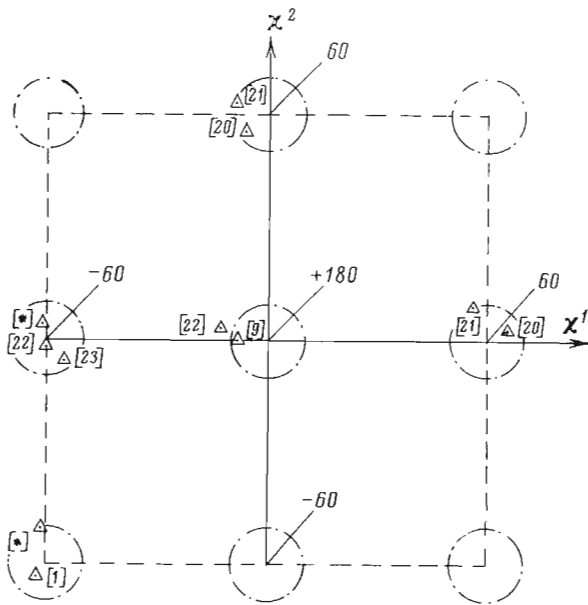


Рис. 5. Диаграмма распределения конформационных состояний (помеченных треугольниками с точкой) боковых цепей остатков *L*-Ile и *L*-MeIle в соединениях с известной структурой. Области низкой торсионной энергии ограничены окружностями с радиусами 20° . Цифры в скобках указывают ссылки на литературный источник; [*] относится к настоящей работе

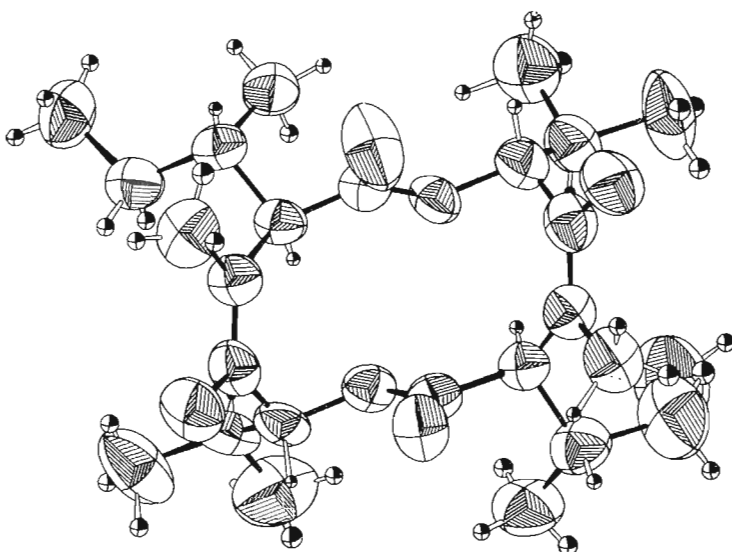


Рис. 6. Конформация кристаллического *cyclo*[-(*L*-MeIle-*D*-HylIV)₂-] с изображением эллипсоидов и сфер тепловых колебаний атомов (сфера колебаний атомов H показаны в уменьшенном масштабе)

ной структуре соединения (I), несмотря на симметрию химического строения, отсутствует теоретически вероятная ось симметрии второго порядка (углы χ_1^2 и χ_3^2 двух диаметрально противоположных остатков *L*-Melle отвечают разным локальным минимумам). Здесь, как и в случае соединения (II), можно говорить лишь о присутствии у конформации основной

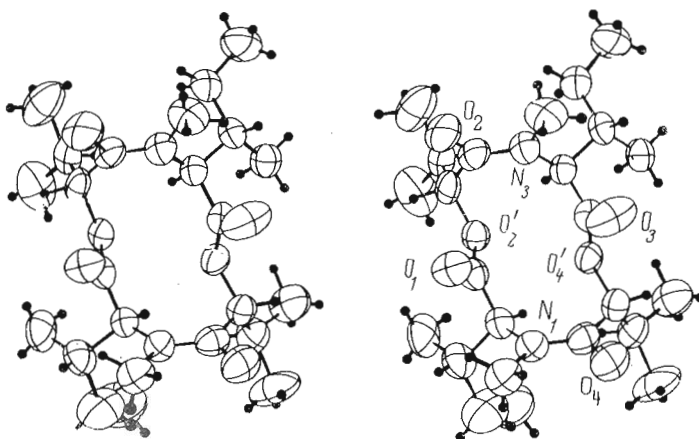


Рис. 7. Стереоскопическое изображение молекулы *cyclo[-(L-MeIle-D-HyIv)₂-]*

цепи псевдооси второго порядка. Тем не менее конформационная симметрия у соединения (I) заметно выше, чем у (II), что проявляется в меньших различиях двугранных углов противолежащих остатков. Например, расхождение углов ψ_1 и ψ_3 остатков MeIle и MeLeu у соединения (II) составляет $\sim 25^\circ$, остатков MeIle у (I) $\sim 8^\circ$, а различия углов φ_2 и φ_4 остатков D-HyIv у соединений (II) и (I) равны соответственно 25 и 12° . При этом конформационные параметры основной цепи *cyclo[-(L-MeIle-D-HyIv)₂-]* приближаются к теоретически рассчитанным величинам углов симметричной формы *cyclo[-(L-MeAla-D-Lac)₂-]** [27].

В целом основная цепь молекулы имеет форму ванны, вытянутой вдоль линии, соединяющей амидные связи C'—N (рис. 6, 7). Края ванны образованы группами C=O и N—Me. Структура характеризуется наличием псевдооси второго порядка. Карбонильные группы направлены по одну сторону от средней плоскости цикла, боковые цепи — по другую. Они занимают промежуточные положения между псевдоаксиальной и псевдоэкваториальной ориентациями. Представление о форме основного скелета молекулы дают расстояния между некоторыми идентичными атомами противолежащих остатков: $l(N_1\dots N_3)$ 5,040, $l(O_2'\dots O_4')$ 2,991, $l(C_1\dots C_3)$ 6,665, $l(O_1\dots O_3)$ 4,265, $l(O_2\dots O_4)$ 7,120 Å.

Экспериментальная часть

Кристаллы *cyclo[-(L-MeIle-D-HyIv)₂-]* получены из серного эфира при комнатной температуре. Они представляют собой устойчивые на воздухе прозрачные бесцветные пластины. Основные характеристики кристалла ($C_{21}H_{42}N_2O_6$): M 454,675, пространственная группа $P2_12_12_1$, a 9,5365 (16), b 11,9604 (14), c 23,1211 (59), V 2627,19 Å 3 , Z 4. Размеры $0,3 \times 0,3 \times 0,2$ мм 3 , $\rho_{\text{теор}}$ 1,15 г/см 3 , μ (Cu K_α) 6,7 см $^{-1}$, F_{000} 992. Определение параметров ячейки и сбор экспериментальных данных проводили на четырехкружном дифрактометре $P\bar{I}$ (Syntex, США) при 17° . Для монохроматизации рентгеновского излучения, полученного на трубке с медным анодом (при 50 кВ и 20mA), использовали Ni-фильтр (λ (Cu K_α) 1,5418 Å). Сбор экспериментальных данных проводили в режиме $2\Theta - \Theta$ до значения $2\Theta = 110^\circ$ (1888 независимых рефлексов, 3 контрольных рефлекса через каждые 50) с интервалом сканирования профиля пика $2^\circ + 2\Theta(\alpha_2) - 2\Theta(\alpha_1)$ (97 точек). Скорость сканирования варьировали от 4 до 12 град/мин. Поправки на поглощение не вводились. Расшифровку структуры (32 независимых неводородных атома) осуществляли прямыми методами на ЭВМ БЭСМ-6.

* Lac — остаток молочной кислоты.

по системе программ «Рентген-75» (основные принципы описаны в работах [28, 29]). Для расшифровки были выбраны 315 наибольших E -факторов с $E \geq 1,39$ (число составленных независимых Σ_2 -соотношений 1600). Из полученных 1024 вариантов наборов фаз по специальной оценке отобраны 14 лучших. Правильный вариант имел минимальный R 0,35, рассчитанный по 315 рефлексам и 1,2 N наивысшим пикам с E -синтеза (где N — число неводородных атомов в структуре). Среди наивысших пиков в E -синтезе данного варианта 27 принадлежали структуре. Остальные 5 неводородных атомов были локализованы с помощью синтеза Фурье. Величина стандартного фактора R на этой стадии равнялась 0,27. Дальнейшие этапы поиска атомов H и уточнение координат всех атомов по блок-диагональной схеме проводили на ЭВМ НОВА-1200 по системе программ XTL (Syntex, США). Координаты атомов C, N, O уточнялись в анизотропном приближении, координаты атомов H, найденные из дифференциального синтеза Фурье и стереохимических закономерностей, уточнялись в изотропном приближении (всего 457 одновременно уточнявшихся параметров). Уточнение проводили по 1704 независимым рефлексам с ограничением $F_0 > 3,92 \sigma_F$. Стандартный фактор расходности R после уточнения равен 0,044.

Конформационная карта Ac-L-MeIle-OMe получена при изменениях φ , ψ через каждые 20° с учетом энергетических вкладов от невалентных и электростатических взаимодействий атомов, а также вращения вокруг валентных связей. Использованные при расчете потенциальные функции и параметризация описаны подробно в работе [30]. Заряды на атомах взяты из квантовохимических данных [31—33]. Расчет проводился по универсальной программе [34] на ЭВМ БЭСМ-6.

Авторы выражают благодарность Ю. А. Овчинникову и В. Т. Иванову за постоянный интерес к работе и обсуждение результатов.

ЛИТЕРАТУРА

1. Konnert J., Karle I. L. (1969) J. Amer. Chem. Soc., **91**, 4888—4892.
2. Тищенко Г. Н., Каримов З., Борисов В. В. (1975) Биоорган. химия, **1**, 378—385.
3. Тищенко Г. Н., Назимова Н. В., Андрианов В. И., Каримов З. (1975) Биоорган. химия, **1**, 386—392.
4. Тищенко Г. Н., Смирнова В. И., Зейбот Л. Н., Назимова Н. В., Андрианов В. И. (1976) Биоорган. химия, **2**, 885—891.
5. Каримов З., Михайлов А. М., Тищенко Г. Н. (1976) Биоорган. химия, **2**, 1445—1454.
6. Groth P. (1970) Acta chem. scand., **24**, 780—790.
7. Karle I. L., Handa B. K., Hassoll C. H. (1975) Acta Crystallogr., **B31**, 555—560.
8. Шишова Т. Г., Андрианов В. И., Симонов В. И., Иванов В. Т., Овчинников Ю. А. (1976) Биоорган. химия, **2**, 1597—1605.
9. Шишова Т. Г., Симонов В. И. (1976) Кристаллография, **21**, 912—921.
10. Шишова Т. Г., Андрианов В. И., Симонов В. И., Плетнев В. З., Евстратов А. В., Иванов В. Т., Овчинников Ю. А. (1977) Биоорган. химия, **3**, 172—179.
11. Тищенко Г. Н., Каримов З., Вайнштейн Б. К., Евстратов А. В., Иванов В. Т., Овчинников Ю. А. (1977) Биоорган. химия, **3**, 467—472.
12. Neupert-Laves K., Dobler M. (1975) Helv. chim. acta, **58**, 432—442.
13. Karle I. L. (1975) J. Amer. Chem. Soc., **97**, 4379—4386.
14. Smith G. D., Duax W. L., Langs D. A., De Titta G. T., Edmond J. W., Rohrer D. C., Weeks C. M. (1975) J. Amer. Chem. Soc., **97**, 7242—7248.
15. Плетнев В. З., Галицкий Н. М., Туркин Н. Г., Тарнопольский Б. Л., Евстратов А. В. (1977) Биоорган. химия, **3**, 869—878.
16. IUPAC — IUB Commission on Biochemical Nomenclature (1970) Biochemistry, **9**, 3471—3478.
17. Ramachandran G. N., Kolaskar A. S. (1973) Biochim. et biophys. acta, **303**, 385—388.
18. Ramachandran G. N., Lakshminarayanan A. V., Kolaskar A. S. (1973) Biochim. et biophys. acta, **303**, 8—13.
19. Попов Е. М., Липкинд Г. М., Плетнев В. З., Архипова С. Ф. (1971) Химия природн. соедин., **184**—191.
20. Trommel J., Bijvoet J. M. (1954) Acta Crystallogr., **7**, 703—709.

21. Weeks C. M., Cooper A., Norton D. A. (1969) *Acta Crystallogr.*, **B25**, 443—450.
22. Torii K., Iitaka Y. (1971) *Acta Crystallogr.*, **B27**, 2237—2246.
23. Varughese K. I., Srinivasan R. (1976) *Acta Crystallogr.*, **B32**, 994—998.
24. Шишова Т. Г., Симонов В. И., Иванов В. Т., Евстратов А. В., Михалева И. И., Балашова Т. А., Овчинников Ю. А. (1975) *Биоорган. химия*, **1**, 1689—1701.
25. Шишова Т. Г., Симонов В. И. (1976) *Кристаллография*, **21**, 736—745.
26. Плетнев В. З., Галицкий Н. М., Туркин Н. Г., Арутюнян Э. Г., Евстратов А. В. (1977) *Биоорган. химия*, **3**, 725—732.
27. Плетнев В. З., Попов Е. М. (1970) *Изв. АН СССР. Сер. хим.*, 991—995.
28. Андрианов В. И., Сафина З. Ш., Тарнопольский Б. Л. (1971) *Ж. структурн. химии*, **12**, 1052—1057.
29. Андрианов В. И., Тарнопольский Б. Л. (1972) *Кристаллография*, **17**, 745—749.
30. Плетнев В. З., Громов Э. П., Попов Е. М. (1975) *Биоорган. химия*, **1**, 328—339.
31. Poland D., Scheraga H. A. (1967) *Biochemistry*, **6**, 3791—3800.
32. Yan J. F., Momany F. A., Scheraga H. A. (1970) *J. Amer. Chem. Soc.*, **92**, 1109—1115.
33. Momany F. A., McGuire R. F., Yan J. F., Scheraga H. A. (1971) *J. Phys. Chem.*, **75**, 2286—2297.
34. Плетнев В. З., Громов Э. П., Кадымова Ф. А. (1975) *Ж. структурн. химии*, **16**—168.

Поступила в редакцию
16.V.1977

THE CRYSTAL AND MOLECULAR STRUCTURE OF *cyclo[-(L-Melle-D-HyIV)₂-]*

PLETNEV V. Z., GALITSKII N. M.

*M. M. Shemyakin Institute of Bioorganic Chemistry,
Academy of Sciences of the USSR. Moscow*

The crystal structure of *cyclo[-(L-Melle-D-HyIV)₂-]* ($C_{24}H_{42}N_2O_6$) has been solved by X-ray direct method. The orthorhombic crystals belong to the $P2_12_12_1$ space group, the number of the molecules in the unit cell Z 4, cell dimensions are a 9.536, b 11.960, c 23.121 Å. The coordinates of the C, N, O atoms have been refined in anisotropic approach, and H atoms — with isotropic one to R 0.044. The main chain of the molecule adopts a boat-type conformation which is characterized by a two-fold pseudoaxis. The diametrically posed methylamide and ester groups have *cis*- and *trans*-configuration, respectively. The carbonyls and side chains are situated at the opposite sides of the average ring plane.